

鉄筋コンクリートT形ばりのせん断破壊性状に関する基礎研究

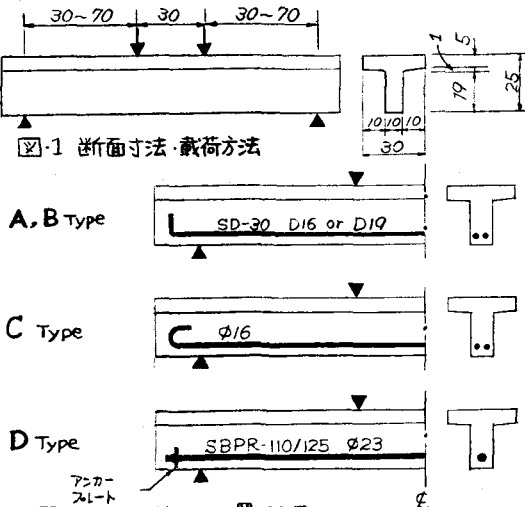
広島大学工学部 正会員 舟越 稔
同上 正会員 岡本 亨久

1. まえがき

本研究は無補強筋コンクリートT形ばりのせん断破壊性状およびせん断破壊機構を知る目的で、コンクリートの強度、主鉄筋比および主鉄筋の付着・定着性状を変えて供試体を製作し、せん断スパンと有効高さの比を変えて載荷試験を行ない、既往の諸研究におけるせん断破壊理論並びに実験値との比較を試みた。また付着・定着性状の相違がせん断耐力に及ぼす影響、などについても検討を加えた。

2. 実験方法

図-1は供試体の断面寸法、載荷方法を示す。せん断スパンと有効高さの比(γ/d)は純曲げスパンを30cmと一定にし、スパン長を変化させることにより7.5から3.5まで5種に変えた。図2は主鉄筋の配置状況を示したもので、A TypeおよびB Typeはそれぞれ異形棒鋼SD-30、D16およびD19を2本、C Typeは $\phi 16$ のみがき棒鋼を2本、またD TypeはSBPR-110/125、呼び名23mmのPC鋼棒を1本配置したもので、A、CおよびD Typeの主鉄筋比(p)はほぼ2%であり、B Typeの主鉄筋比は2.8%である。定着方法はA、B Typeでは直角フック、C Typeでは半円形フックまたはD Typeではアンカーフレートをナットで締めたものを用いた。組立鉄筋にはSR-24、 $\phi 9$ を使用した。



3. 実験結果と考察

表1は試験結果の一覧である。破壊形式においてSCFはせん断圧縮破壊、SBFはせん断引張破壊(付着破壊)、AFは定着部の破壊、MTFは曲げ引張破壊、DTFは斜引張破壊を示す。図3は斜いひびわれ発生時のせん断応力(T_{Gc})と γ/d の関係を、図4は終局せん断強さ(T_u)と γ/d の関係を示したものである。図5はせん断破壊時のモーメント(M_u)と γ/d の関係を示したものとの比較の目的でWaltherの理論による計算値も図示した。図6、7および8はそれぞれA、CおよびDタイプのひびわれ様相を示した。

コンクリート構造物のせん断問題に関する、R. Walther並びにG.N.J.

表-1 試験結果

Beam No.	γ/d	Type	$p\%$	$K_{R,dy}$ (kg/cm ²)	O_c (kg/cm ²)	P_b (t)	P_{fc} (t)	P_u (t)	T_{Gc} (kg/cm ²)	T_u (kg/cm ²)	M_u (t-m)	破壊形式
1	1.5	A	1.91	0	182	4.0	6.5	15.7	15.8	38.0	2.35	SCF
2	2.0	A	1.85	0	181	3.0	5.7	14.7	13.4	34.5	2.93	SCF
3	2.5	A	1.88	0	181	3.0	5.0	9.9	11.9	23.7	2.48	SCF
4	3.0	A	1.93	0	196	2.0	4.5	6.2	11.0	14.7	1.81	SBF
5	3.5	A	1.88	0	196	2.0	4.0	5.8	9.5	13.8	2.02	SBF
6	1.5	B	2.66	0	176	5.0	8.0	17.0	19.6	41.7	2.55	SCF
7	2.0	B	2.70	0	188	3.0	6.5	14.3	16.2	35.6	2.86	SCF
8	2.5	B	2.63	0	188	2.5	5.7	10.4	13.8	25.3	2.61	SCF
9	3.0	B	2.62	0	179	2.0	5.5	7.0	13.3	16.8	2.09	SBF
10	3.5	B	2.66	0	182	2.0	4.5	6.5	11.0	15.9	2.28	SBF
11	1.5	C	1.94	0	181	4.0	-	12.1	-	29.3	1.82	AF
12	2.5	C	1.94	0	185	2.5	-	6.9	-	16.8	1.73	AF
13	3.5	C	1.95	0	185	1.5	-	4.5	-	11.0	1.58	AF
14	2.5	D	1.94	0	179	3.0	12.5	12.5	30.3	30.3	3.13	DTF
15	2.5	A	1.92	60	181	3.0	5.5	13.0	13.4	31.6	3.25	MTF
16	2.5	A	1.92	0	286	2.0	6.5	9.5	15.9	23.3	2.39	SCF
17	2.5	B	2.62	0	286	3.0	7.0	11.4	16.9	27.5	2.86	SCF

P_0 : 曲げひびわれ発生荷重, P_{fc} : 斜いひびわれ発生荷重, P_u : 破壊荷重
 T_{Gc} : 斜いひびわれ発生時のせん断強さ, T_u : 終局時のせん断強さ, $K_{R,dy}$: 腹部補強率

(2) Kaniのせん断破壊理論およびACI-ASCE 合同委員会報告などがあり、勢力的な研究が行なわれているにも拘らず最終的な結論を出すまでには至っていない。Waltherはせん断圧縮破壊(SCF)に注目し、斜ひびきわき先端部のコンクリートの圧縮強度および変形条件から理論式を導いているが、数多くの仮定があり式が難解であって、実際本実験に適用しても図5のように実験値の間に相違が生じ、設計などに利用するには数多くの問題が含まれている。Kaniはせん断圧縮破壊と斜引張破壊を斜め破壊(Diagonal Failure)として取り扱い、せん断スパン内に生じる曲げひびわれの先端部が曲げモーメントの変化により生ずる鉄筋の付着力の差で崩壊した後、曲げせん断ひびわれに沿う残存アーチ機構が形成され、このアーチ機構の崩壊によって終局耐力を到達するとして理論式を展開している。一方 ACI-ASCE 報告によるとせん断破壊の特徴として斜ひびわれ発生のパターンに注目し、曲げせん断ひびわれおよびウェスせん断ひびわれの2種に大別している。また斜ひびわれが発生し、伸展してゆく様子やその結果として生ずる破壊形式はせん断応力、曲げ応力の相対的な大きさに著しく影響されるとしている。Walther, Kaniの理論と比較し、ACI-ASCE 報告は斜ひびわれを2種に分けそれを半経験式を適用している点、破壊形式を%によって分類し、各破壊形式の特徴を明確にしているという点で実用性に優れています。

主鉄筋の付着性状の相違が梁の終局耐力に及ぼす影響について、Kaniは付着性能の悪い梁では付着の良い梁とくらべて耐力が増加することを実験的に確かめている。図4の▲印は付着性能の悪い梁の終局せん断強さを示し、定着部が破壊しないならば耐力は大幅になり、最終的には図8に示したように斜ひびわれ発生とともに破壊した。しかし以上の論義は無補強単純梁に適用するもので通常、梁には腹鉄筋が配置されており、この場合の挙動は異なる。しかも定着部はRC手引書に準じて図2のC typeのようなフックつけた場合図7のような定着部剥離が起こり図4の▲印で示すなく耐力は付着の良い場合より20~30%減少し。主鉄筋の付着の問題は耐力の面だけを論じるのではなく、ひびわれ幅、変形を含めて論じる必要がある。即ち設計の使用性能範囲内では付着の良い方がひびわれ幅、変形が少ないのでより主鉄筋の付着は不必要なものとなる。設計での終局状態を想定し、耐力、ひびわれ幅および変形に対して同一の安全性を持たせる必要があり、この面からの研究が課題である。

4. 結び

Walther, Kaniのせん断破壊理論およびACI-ASCE 報告を参考しせん断問題を論議したが、統じて Walther および Kani の両理論とも種々のせん断破壊形式の一端についてのみ適用可能でせん断破壊全般に渡っての使用は不可能であり、又 Walther の理論剛性が極めて複雑で実際の適用にあたって難しいことが欠点として挙げられる。設計上の手順を重視し、ACI-ASCE 報告で述べるような各種せん断破壊別に簡単な式を導入し、各式で最もとなるせん断応力について断面法、補強方法などを決定し、どの破壊形式にても同一安全度を持たせるような設計方法の確立が急務とされ、今後の面での検討を行なう予定である。本論文の実験実施に際し、学部4年生ケンジ・裕君より多大な援助を受けました。ここに謝意を表します。

(参考文献)(1) R.Walther, BETON UND STAHLBETONBAU 1/1962, (2) G.N.J.Kani, ACI Journal, April 1964 (3) ACI-ASCE Report, ASCE Vol.99, STG June 1973

